

Sia \mathfrak{R} un disco circolare rigido omogeneo pesante, di centro C massa \mathfrak{M} e raggio r , che presenta una cavità circolare di raggio $r/2$ e tangente internamente al bordo del disco stesso. Siano A il centro della cavità e ξ l'asse solidale, dato da $(C, \text{vers } \overrightarrow{AC})$.

Nello spazio terrestre supposto inerziale il corpo \mathfrak{R} è vincolato a muoversi su un piano verticale fisso rispetto a terra. Sia (x, y) tale piano, con y verticale e orientato verso l'alto.

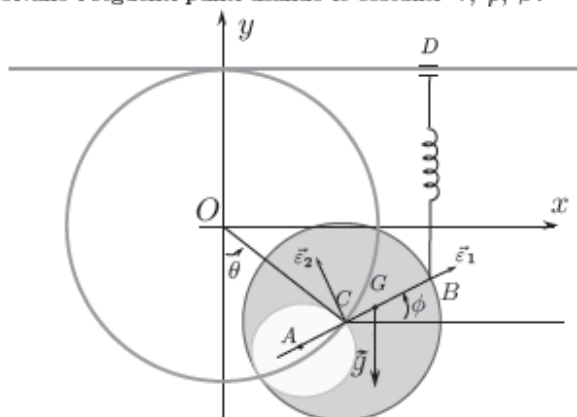
Il centro C del disco è vincolato a scorrere lungo una guida circolare fissa nel piano (x, y) , avente centro nell'origine O del sistema di riferimento e raggio $R =: \beta r$ con $\beta > 1$.

Sia θ l'anomalia che il vettore \overrightarrow{OC} forma rispetto al versore $-\vec{e}_2$ contata positivamente nel verso antiorario rispetto a \vec{e}_3 , sia B il punto fisso sul bordo del disco e di coordinate (relative) $(r, 0, 0)$, e sia ϕ l'anomalia che il vettore \overrightarrow{CB} forma rispetto al versore \vec{e}_1 contata positivamente nel verso antiorario rispetto a \vec{e}_3 .

Tutti i vincoli sono realizzati senza attrito.

Sul sistema, oltre ai pesi e alla sollecitazione vincolare, agisce una forza elastica, di costante elastica k , applicata al punto B e avente centro in un punto D del sistema di riferimento che scorre sull'asse $y = R$ in modo da essere costantemente sulla verticale per B (e cioè tale che $x_B \equiv x_D$).

Si assumano come coordinate lagrangiane le due anomalie θ e ϕ , si introduca la costante positiva ρ tale che $\mathfrak{M}g =: \rho k R$, e si risolvano i seguenti punti usando le costanti r, ρ, β .



- 0) Dimostrare che sussistono le relazioni $\xi_G = r/6$, e $J_{G, \vec{e}_3} = \frac{37}{72} \mathfrak{M} r^2$.
- 1) Esprimere le energie cinetica e potenziale del sistema e ricavarne le equazioni di Lagrange.
- 2) Determinare, con i particolari valori $\rho = 8$ e $\beta = 2$, le eventuali posizioni di equilibrio e studiarne la stabilità, mostrando che l'unica posizione stabile è $C_1 = (\theta_1 = 0, \phi_1 = \pi/2)$.
- 3) Scrivere le equazioni cardinali e (facoltativo) verificare le equazioni trovate nel Punto 1).
- 4) Ricavare esplicitamente (in funzione delle k, r, ρ, β) le espressioni globali (\vec{F}^v, \vec{M}_G^v) della sollecitazione vincolare con la quale la guida agisce sul disco in un istante in cui si hanno $(\theta_0 = 0, \phi_0 = \pi/2, \dot{\theta}_0 = \sqrt{g/R}, \dot{\phi}_0 = \sqrt{6g/R})$, e specificare il valore assunto dalla costante c tale che $\vec{M}_G^v = c \mathfrak{M} g r \vec{e}_3$.
- 5) Ancora con i valori $\rho = 8$ e $\beta = 2$, scrivere le equazioni di moto linearizzate nell'intorno della posizione C_1 , e l'equazione delle frequenze proprie ν_1, ν_2 . Infine esprimere (formalmente) la soluzione di tali equazioni in funzione di arbitrari dati iniziali: $(\theta_0, \phi_0, \dot{\theta}_0, \dot{\phi}_0)$.

□

Risoluzione **IV APP LUG 2018**

Punto 0) L'ascissa ξ_G del baricentro e il momento d'inerzia J_{G, \vec{e}_3} del corpo \mathfrak{R} sono conseguenze delle seguenti

$$0 = \mu\pi \frac{r^2}{4} \left(-\frac{r}{2}\right) + \mu\pi \left(r^2 - \frac{r^2}{4}\right) \xi_G, \quad \text{con } \mu\pi \left(r^2 - \frac{r^2}{4}\right) = \mathfrak{M}$$

$$\mu\pi r^2 \frac{r^2}{2} - \mu\pi \frac{r^2}{4} \left(\frac{r^2}{2} + \frac{r^2}{4}\right) = \mathfrak{M} \xi_G^2 + J_{G, \vec{e}_3}, \quad \mathfrak{M} \xi_G = \mu\pi \frac{r^2}{4} \frac{r}{2} = \frac{4}{3} \mathfrak{M} \frac{r}{8}.$$

Pertanto $\mathfrak{M} \xi_G^2 + J_{G, \bar{e}_3} = \frac{13}{8} \mu \pi r^2 \frac{r^2}{4}$ e quindi, dato che $\frac{1}{36} + \frac{37}{72} = \frac{39}{72} = \frac{13}{24}$,

$$\xi_G = \frac{r}{6} \quad \text{e} \quad J_{G, \bar{e}_3} = \mathfrak{M} r^2 \left(\frac{13}{24} - \frac{1}{36} \right) = \frac{37}{72} \mathfrak{M} r^2 \quad \text{insieme con} \quad \mathfrak{M} \xi_G^2 + J_{G, \bar{e}_3} = \frac{13}{24} \mathfrak{M} r^2 .$$

Punto 1) Sussistono le relazioni (nelle quali non verrà scritta la terza componente dei vettori se questi sono sul piano (x, y))

$$\begin{aligned} (\overrightarrow{OC})_e &= R \begin{pmatrix} \sin \theta \\ -\cos \theta \end{pmatrix}, & (\bar{e}_1)_e &= \begin{pmatrix} \cos \phi \\ \sin \phi \end{pmatrix} & (\overrightarrow{CB})_e &= r \begin{pmatrix} \cos \phi \\ \sin \phi \end{pmatrix}, \\ (\overrightarrow{OG})_e &= R \begin{pmatrix} \sin \theta \\ -\cos \theta \end{pmatrix} + \xi_G \begin{pmatrix} \cos \phi \\ \sin \phi \end{pmatrix}, & (\overrightarrow{OB})_e &= R \begin{pmatrix} \sin \theta \\ -\cos \theta \end{pmatrix} + r \begin{pmatrix} \cos \phi \\ \sin \phi \end{pmatrix}, \\ (\vec{v}_C)_e &= R \dot{\theta} \begin{pmatrix} \cos \theta \\ \sin \theta \end{pmatrix}, & (\vec{v}_G)_e &= R \dot{\theta} \begin{pmatrix} \cos \theta \\ \sin \theta \end{pmatrix} + \xi_G \dot{\phi} \begin{pmatrix} -\sin \phi \\ \cos \phi \end{pmatrix}, \\ (\vec{a}_C)_e &= R \begin{pmatrix} \ddot{\theta} \cos \theta - \dot{\theta}^2 \sin \theta \\ \ddot{\theta} \sin \theta + \dot{\theta}^2 \cos \theta \end{pmatrix} & (\overrightarrow{BD})_e &= \begin{pmatrix} 0 \\ R + R \cos \theta - r \sin \phi \end{pmatrix}, \\ (\vec{a}_G)_e &= R \begin{pmatrix} \ddot{\theta} \cos \theta - \dot{\theta}^2 \sin \theta \\ \ddot{\theta} \sin \theta + \dot{\theta}^2 \cos \theta \end{pmatrix} + \xi_G \begin{pmatrix} -\ddot{\phi} \sin \phi - \dot{\phi}^2 \cos \phi \\ \ddot{\phi} \cos \phi - \dot{\phi}^2 \sin \phi \end{pmatrix}. \end{aligned}$$

Di conseguenza si hanno le

$$\begin{aligned} \mathcal{V} &= \mathfrak{M} g y_G + \frac{1}{2} k (R + R \cos \theta - r \sin \phi)^2 \\ &= \mathfrak{M} g (-R \cos \theta + \xi_G \sin \phi) + \frac{1}{2} k (R^2 \cos^2 \theta + r^2 \sin^2 \phi \\ &\quad (+2R^2 \cos \theta - 2Rr \sin \phi - 2Rr \cos \theta \sin \phi) + \text{cost.} \\ &= \frac{1}{2} k R^2 \cos^2 \theta + \frac{1}{2} k r^2 \sin^2 \phi + (-\mathfrak{M} g + kR) R \cos \theta \\ &\quad + (\mathfrak{M} g/6 - kR) r \sin \phi - kRr \cos \theta \sin \phi + \text{cost.} , \\ \mathcal{T} &= \frac{1}{2} \mathfrak{M} R^2 \dot{\theta}^2 + \frac{1}{2} \mathfrak{M} \xi_G^2 \dot{\phi}^2 + \mathfrak{M} R \xi_G \dot{\phi} \dot{\theta} \sin(\theta - \phi) + \frac{1}{2} J_{G, \bar{e}_3} \dot{\phi}^2 \\ &= \frac{1}{2} \mathfrak{M} R^2 \dot{\theta}^2 + \frac{1}{2} \mathfrak{M} r^2 \frac{13}{24} \dot{\phi}^2 + \frac{1}{6} \mathfrak{M} Rr \dot{\phi} \dot{\theta} \sin(\theta - \phi) , \end{aligned}$$

e quindi

$$\left\{ \begin{aligned} \frac{\partial \mathcal{V}}{\partial \theta} &= -k R^2 \cos \theta \sin \theta - (-\mathfrak{M} g + kR) R \sin \theta + kRr \sin \theta \sin \phi \\ &= R (kr \sin \phi - kR \cos \theta + (\mathfrak{M} g - kR)) \sin \theta \\ &= \beta k r^2 (\sin \phi - \beta \cos \theta + \beta(\rho - 1)) \sin \theta \\ \frac{\partial \mathcal{V}}{\partial \phi} &= k r^2 \cos \phi \sin \phi + (\mathfrak{M} g/6 - kR) r \cos \phi - kRr \cos \theta \cos \phi \\ &= r \left(kr \sin \phi - kR \cos \theta + \left(\frac{1}{6} \mathfrak{M} g - kR\right) \right) \cos \phi \\ &= k r^2 \left(\sin \phi - \beta \cos \theta + \beta \left(\frac{\rho}{6} - 1\right) \right) \cos \phi \end{aligned} \right. \quad (5.0.12)$$

$$\left\{ \begin{aligned} \frac{\partial \mathcal{T}}{\partial \dot{\theta}} &= \mathfrak{M} R^2 \dot{\theta} + \frac{1}{6} \mathfrak{M} Rr \dot{\phi} \sin(\theta - \phi) \\ \frac{\partial \mathcal{T}}{\partial \dot{\phi}} &= \frac{13}{24} \mathfrak{M} r^2 \dot{\phi} + \frac{1}{6} \mathfrak{M} Rr \dot{\theta} \sin(\theta - \phi) \end{aligned} \right. \quad \left\{ \begin{aligned} \frac{\partial \mathcal{T}}{\partial \dot{\theta}} &= +\frac{1}{6} \mathfrak{M} Rr \dot{\phi} \dot{\theta} \cos(\theta - \phi) \\ \frac{\partial \mathcal{T}}{\partial \dot{\phi}} &= -\frac{1}{6} \mathfrak{M} Rr \dot{\phi} \dot{\theta} \cos(\theta - \phi) . \end{aligned} \right. \quad (5.0.13)$$

Dalle (5.0.12) e (5.0.13) seguono le equazioni di Lagrange:

$$\begin{cases} \mathcal{L}_\theta \\ \mathcal{L}_\phi \end{cases} \begin{cases} \mathfrak{M} R^2 \ddot{\theta} + \frac{1}{6} \mathfrak{M} R r \ddot{\phi} \sin(\theta - \phi) - \frac{1}{6} \mathfrak{M} R r \dot{\phi}^2 \cos(\theta - \phi) = \\ -R \left(k r \sin \phi - k R \cos \theta + (\mathfrak{M} g - k R) \right) \sin \theta \\ + \frac{1}{6} \mathfrak{M} R r \ddot{\theta} \sin(\theta - \phi) + \frac{13}{24} \mathfrak{M} r^2 \ddot{\phi} + \frac{1}{6} \mathfrak{M} R r \dot{\theta}^2 \cos(\theta - \phi) = \\ -r \left(k r \sin \phi - k R \cos \theta + \left(\frac{1}{6} \mathfrak{M} g - k R \right) \right) \cos \phi \end{cases} \quad (5.0.14)$$

Punto 2) Dalle (5.0.12) si ricavano le condizioni di equilibrio:

$$\begin{cases} R \left(k r \sin \phi - k R \cos \theta + (\mathfrak{M} g - k R) \right) \sin \theta = 0 \\ r \left(k r \sin \phi - k R \cos \theta + \left(\frac{1}{6} \mathfrak{M} g - k R \right) \right) \cos \phi = 0 \end{cases}$$

ovvero, essendo $kR = k\beta r$, le

$$\begin{cases} (\sin \phi - \beta \cos \theta + \beta(\rho - 1)) \sin \theta = 0, \\ (\sin \phi - \beta \cos \theta + \beta(\frac{\rho}{6} - 1)) \cos \phi = 0. \end{cases} \quad (5.0.15)$$

Pertanto, con i dati $\rho = 8$ e $\beta = 2$ esse diventano:

$$\begin{cases} (\sin \phi - 2 \cos \theta + 14) \sin \theta = 0, \\ (\sin \phi - 2 \cos \theta + \frac{2}{3}) \cos \phi = 0, \end{cases}$$

e forniscono $\sin \theta = 0$ come condizione necessaria; a questa si aggiunge $\cos \phi (\sin \phi + 2(\mp 1 + \frac{1}{3}))$ il cui coefficiente è comunque diverso da zero. Rimangono quindi solo le seguenti quattro posizioni di equilibrio

$$\mathcal{C}_1 = \begin{pmatrix} \theta_1 = 0 \\ \phi_1 = \pi/2 \end{pmatrix}, \quad \mathcal{C}_2 = \begin{pmatrix} \theta_2 = 0 \\ \phi_2 = -\pi/2 \end{pmatrix}, \quad \mathcal{C}_3 = \begin{pmatrix} \theta_3 = \pi \\ \phi_3 = \pi/2 \end{pmatrix}, \quad \mathcal{C}_4 = \begin{pmatrix} \theta_4 = \pi \\ \phi_4 = -\pi/2 \end{pmatrix}.$$

D'altra parte, dalle (5.0.12) e (5.0.13) si ricavano anche le

$$\begin{cases} \frac{\partial^2 \mathcal{V}}{\partial \theta^2} = R \left(k r \sin \phi - k R \cos \theta + (\mathfrak{M} g - k R) \right) \cos \theta + k R^2 \sin^2 \theta \\ \frac{\partial^2 \mathcal{V}}{\partial \phi^2} = -r \left(k r \sin \phi - k R \cos \theta + \left(\frac{1}{6} \mathfrak{M} g - k R \right) \right) \sin \phi + k r^2 \cos^2 \phi \\ \frac{\partial^2 \mathcal{V}}{\partial \theta \partial \phi} = k R r \sin \theta \cos \phi \end{cases} \quad (5.0.16)$$

oltre che le

$$\frac{\partial^2 \mathcal{T}}{\partial \dot{\theta}^2} = \mathfrak{M} R^2, \quad \frac{\partial^2 \mathcal{T}}{\partial \dot{\phi}^2} = \frac{13}{24} \mathfrak{M} r^2, \quad \frac{\partial^2 \mathcal{T}}{\partial \dot{\theta} \partial \dot{\phi}} = \frac{1}{6} \mathfrak{M} R r \sin(\theta - \phi). \quad (5.0.17)$$

Ne seguono in particolare, con $\boxed{\mathfrak{M} g =: \rho k R}$ e con $\boxed{\beta := R/r}$, le

$$\begin{aligned} \mathbf{a} &= \begin{pmatrix} \mathfrak{M} R^2 & \frac{1}{6} \mathfrak{M} R r \sin(\theta - \phi) \\ \frac{1}{6} \mathfrak{M} R r \sin(\theta - \phi) & \frac{13}{24} \mathfrak{M} r^2 \end{pmatrix}, \\ \mathbf{b} &= k r^2 \begin{pmatrix} \beta (\sin \phi - \beta \cos \theta + \beta(\rho - 1)) \cos \theta + \beta^2 \sin^2 \theta & \beta \sin \theta \cos \phi \\ \beta \sin \theta \cos \phi & -(\sin \phi - \beta \cos \theta + \beta(\frac{\rho}{6} - 1)) \sin \phi + \cos^2 \phi \end{pmatrix} \end{aligned} \quad (5.0.18)$$

o anche

$$\mathbf{b} = kr^2 \begin{pmatrix} -4 \cos 2\theta + 2 \sin \phi \cos \theta + 28 \cos \theta & 2 \sin \theta \cos \phi \\ 2 \sin \theta \cos \phi & -\cos 2\theta + 2 \cos \theta \sin \phi - \frac{2}{3} \sin \phi \end{pmatrix}$$

Queste si specializzano nelle

$$\begin{aligned} \mathbf{b}_1 &= kr^2 \begin{pmatrix} \beta(1 + \beta(\rho - 2)) & 0 \\ 0 & -(1 + \beta(\frac{\rho}{6} - 2)) \end{pmatrix}, & \mathbf{b}_3 &= kr^2 \begin{pmatrix} -\beta(1 + \rho\beta) & 0 \\ 0 & -(1 + \frac{\rho}{6}\beta) \end{pmatrix}, \\ \mathbf{b}_2 &= kr^2 \begin{pmatrix} \beta(-1 + \beta(\rho - 2)) & 0 \\ 0 & (-1 + \beta(\frac{\rho}{6} - 2)) \end{pmatrix}, & \mathbf{b}_4 &= kr^2 \begin{pmatrix} -\beta(-1 + \rho\beta) & 0 \\ 0 & (-1 + \frac{\rho}{6}\beta) \end{pmatrix}, \end{aligned}$$

e cioè nelle

$$\mathbf{b}_1 = kr^2 \begin{pmatrix} 26 & 0 \\ 0 & \frac{1}{3} \end{pmatrix}, \quad \mathbf{b}_2 = kr^2 \begin{pmatrix} 22 & 0 \\ 0 & -\frac{7}{3} \end{pmatrix}, \quad \mathbf{b}_3 = kr^2 \begin{pmatrix} -34 & 0 \\ 0 & -\frac{11}{3} \end{pmatrix}, \quad \mathbf{b}_4 = kr^2 \begin{pmatrix} -30 & 0 \\ 0 & \frac{5}{3} \end{pmatrix},$$

che permettono di concludere che la $\mathcal{C}_1 = (0, \pi/2)$ è l'unica posizione di equilibrio stabile.

Punto 3) Le equazioni cardinali sono invece

$$\begin{cases} \mathfrak{M} \vec{a}_G = \mathfrak{M} \vec{g} - k \overrightarrow{DB} + \vec{F}^v \\ \dot{\vec{K}}^G = -\overrightarrow{GB} \times k \overrightarrow{DB} + \overrightarrow{GC} \times \vec{F}^v + \vec{M}_C^v \end{cases} \quad (5.0.19)$$

dalle quali ricavare, siccome i vincoli sono tutti senza attrito, che $F_z^v = 0$ e che quindi $\vec{M}_C^v \perp \vec{e}_3$ è nulla. Poi, dovendo essere

$$\begin{cases} \vec{F}^v \times \overrightarrow{OC} = (\mathfrak{M} \vec{a}_G - \mathfrak{M} \vec{g} + k \overrightarrow{DB}) \times \overrightarrow{OC} = 0 \\ \vec{F}^v \times \overrightarrow{CG} = \dot{\vec{K}}^G + \overrightarrow{GB} \times k \overrightarrow{DB} \end{cases} \quad (5.0.20)$$

dalle stesse (5.0.19) si deducono le condizioni

$$\begin{cases} (\mathfrak{M} \vec{a}_G - \mathfrak{M} \vec{g} + k \overrightarrow{DB})_x y_C = (\mathfrak{M} \vec{a}_G - \mathfrak{M} \vec{g} + k \overrightarrow{DB})_y x_C \\ (\mathfrak{M} \vec{a}_G - \mathfrak{M} \vec{g} + k \overrightarrow{DB})_x (y_G - y_C) - (\mathfrak{M} \vec{a}_G - \mathfrak{M} \vec{g} + k \overrightarrow{DB})_y (x_G - x_C) \\ = J_{G, \vec{e}_3} \ddot{\phi} - \frac{5}{6} r \vec{e}_1 \times k(R + R \cos \theta - r \sin \phi) \vec{e}_2 \cdot \vec{e}_3 \end{cases} \quad (5.0.21)$$

ovvero:

$$\begin{aligned} -\mathfrak{M} R \ddot{x}_G \cos \theta &= (\mathfrak{M} \ddot{y}_G + \mathfrak{M} g - k(R + R \cos \theta - r \sin \phi)) R \sin \theta \\ \mathfrak{M} \frac{r}{6} \ddot{x}_G \sin \phi - (\mathfrak{M} \ddot{y}_G + \mathfrak{M} g - k(R + R \cos \theta - r \sin \phi)) \frac{r}{6} \cos \phi \\ &= \frac{37}{72} \mathfrak{M} r^2 \ddot{\phi} - \frac{5}{6} kr (R + R \cos \theta - r \sin \phi) \cos \phi \end{aligned}$$

o anche

$$\begin{aligned} \mathfrak{M} R (\ddot{x}_G \cos \theta + \ddot{y}_G \sin \theta) &= (-\mathfrak{M} g + k(R + R \cos \theta - r \sin \phi)) R \sin \theta \\ \mathfrak{M} \frac{r}{6} (-\ddot{x}_G \sin \phi + \ddot{y}_G \cos \phi) + (\mathfrak{M} g - k(R + R \cos \theta - r \sin \phi)) \frac{r}{6} \cos \phi, \\ &= -\frac{37}{72} \mathfrak{M} r^2 \ddot{\phi} + \frac{5}{6} kr (R + R \cos \theta - r \sin \phi) \cos \phi, \end{aligned}$$

equazioni, queste, che coincidono (provare per credere) con le (5.0.14). D'altra parte, proiettando la prima equazione cardinale lungo la tangente alla guida: $(\vec{T})_e = \begin{pmatrix} \cos \theta \\ \sin \theta \end{pmatrix}$ si ha:

$$\begin{aligned} \mathfrak{M} \beta r \ddot{\theta} \cos^2 \theta - \mathfrak{M} \beta r \dot{\theta}^2 \sin \theta \cos \theta - \mathfrak{M} \frac{r}{6} \ddot{\phi} \sin \phi \cos \theta - \mathfrak{M} \frac{r}{6} \dot{\phi}^2 \cos \phi \cos \theta + \\ + \mathfrak{M} \beta r \ddot{\theta} \sin^2 \theta + \mathfrak{M} \beta r \dot{\theta}^2 \sin \theta \cos \theta + \mathfrak{M} \frac{r}{6} \ddot{\phi} \cos \phi \sin \theta - \mathfrak{M} \frac{r}{6} \dot{\phi}^2 \sin \phi \sin \theta \\ = kr \sin \theta (\beta \cos \theta - \sin \phi + \beta) - \mathfrak{M} g \sin \theta. \end{aligned}$$

che è la prima Lagrange. A sua volta, e usando la matrice di trasformazione $\mathbf{p} = \begin{pmatrix} \cos \phi & \sin \phi & 0 \\ -\sin \phi & \cos \phi & 0 \\ 0 & 0 & 1 \end{pmatrix}$, per ottenere le \mathcal{E} -componenti dei vettori:

$$\begin{aligned} (\vec{a}_G)_\mathcal{E} &= \begin{pmatrix} \beta r \ddot{\theta} \cos(\theta - \phi) - \beta r \dot{\theta}^2 \sin(\theta - \phi) - \frac{r}{6} \dot{\phi}^2 \\ \beta r \ddot{\theta} \sin(\theta - \phi) + \beta r \dot{\theta}^2 \cos(\theta - \phi) + \frac{r}{6} \dot{\phi}^2 \\ 0 \end{pmatrix}, & \vec{GB} &= -5 \vec{GC}, \\ (\vec{GC})_\mathcal{E} &= \begin{pmatrix} -r/6 \\ 0 \\ 0 \end{pmatrix}, & (\vec{GC} \times)_\mathcal{E} &= \begin{pmatrix} 0 & 0 & 0 \\ 0 & 0 & r/6 \\ 0 & -r/6 & 0 \end{pmatrix}, \end{aligned}$$

l'equazione:

$$\dot{K}_G = \vec{GC} \times (\mathfrak{M} \vec{a}_G - \mathfrak{M} \vec{g} - 6k \vec{BD}), \quad \text{con} \quad (\vec{BD})_\mathcal{E} = \begin{pmatrix} r \sin \phi (\beta \cos \theta - \sin \phi + \beta) \\ r \cos \phi (\beta \cos \theta - \sin \phi + \beta) \end{pmatrix},$$

proiettata lungo \vec{e}_3 fornisce la seconda equazione di Lagrange.

Punto 4) Dalle (5.0.19) si ricava allora $\vec{F}^v = \mathfrak{M} \vec{a}_G - \mathfrak{M} \vec{g} + k \vec{DB}$ con la quale è possibile calcolare la $\vec{M}_G^v = \vec{M}_G^v + \vec{GC} \times \vec{F}^v = \vec{F}^v \times \vec{CG}$. Ma per $\theta_0 = 0$ e $\phi_0 = \pi/2$ si hanno

$$\begin{aligned} (\mathfrak{M} \vec{a}_G)_e &= \mathfrak{M} R \begin{pmatrix} \ddot{\theta} \\ \dot{\theta}^2 \end{pmatrix} + \mathfrak{M} \xi_G \begin{pmatrix} -\ddot{\phi} \\ -\dot{\phi}^2 \end{pmatrix}, \\ (-\mathfrak{M} \vec{g})_e &= \begin{pmatrix} 0 \\ \mathfrak{M} g \end{pmatrix}, & (k \vec{DB})_e &= k \begin{pmatrix} 0 \\ -2R + r \end{pmatrix}, \end{aligned}$$

e quindi se ne conclude che per tali valori si ha

$$(\vec{F}^v)_e = \begin{pmatrix} \mathfrak{M} R \ddot{\theta} \\ \mathfrak{M} R \dot{\theta}^2 \end{pmatrix} + \begin{pmatrix} -\mathfrak{M} \xi_G \ddot{\phi} \\ -\mathfrak{M} \xi_G \dot{\phi}^2 \end{pmatrix} + \begin{pmatrix} 0 \\ \mathfrak{M} g \end{pmatrix} + \begin{pmatrix} 0 \\ -2kR + kr \end{pmatrix}.$$

D'altra parte, i valori delle $\ddot{\theta}_0$ e $\ddot{\phi}_0$ si possono ricavare a partire dalle equazioni di Lagrange: (5.0.14). Infatti, per $\theta_0 = 0$ e $\phi_0 = \pi/2$ quelle diventano:

$$\mathfrak{M} R^2 \ddot{\theta} - \frac{1}{6} \mathfrak{M} R r \ddot{\phi} = 0, \quad -\frac{1}{6} \mathfrak{M} R r \ddot{\theta} + \frac{13}{24} \mathfrak{M} r^2 \ddot{\phi} = 0,$$

e dunque necessariamente $\ddot{\theta}_0 = \ddot{\phi}_0 = 0$. Tramite queste si ricava la

$$\begin{aligned} (\vec{F}^v)_e &= \begin{pmatrix} \mathfrak{M} R \ddot{\theta} - \mathfrak{M} \xi_G \ddot{\phi} \\ \mathfrak{M} g(1 - \frac{1}{\beta}) + \mathfrak{M} g - 2kR + kr \end{pmatrix} \\ &= \begin{pmatrix} 0 \\ \mathfrak{M} g(2 - \frac{1}{\beta}) - 2kR + kr \end{pmatrix} = \mathfrak{M} g \begin{pmatrix} 0 \\ (2 - \frac{1}{\beta}) - \frac{2}{\rho} + \frac{1}{\beta\rho} \end{pmatrix}. \end{aligned}$$

e questa fornisce $\vec{M}_G^v = \vec{F}^v \times \vec{CG} = c \mathfrak{M} g r \vec{e}_3$ con $c = 0$ dato il parallelismo fra i due vettori.

Punto 5) Le linearizzate delle (5.0.14) nella posizione $(\theta_1 = 0, \phi_1 = \pi/2)$ (ancora con $\beta = 2$ e $\rho = 8$) sono $\mathbf{a}_1 \ddot{r} + \mathbf{b}_1 r = 0$ per $r := (\theta, \phi - \frac{\pi}{2})$ e con $\mathbf{a} = \begin{pmatrix} \mathfrak{M} R^2 & \frac{1}{6} \mathfrak{M} R r \sin(\theta - \phi) \\ \frac{1}{6} \mathfrak{M} R r \sin(\theta - \phi) & \frac{13}{24} \mathfrak{M} r^2 \end{pmatrix}$ che diviene $\mathbf{a}_1 = \begin{pmatrix} 4\mathfrak{M} r^2 & -\frac{1}{3} \mathfrak{M} r^2 \\ -\frac{1}{3} \mathfrak{M} r^2 & \frac{13}{24} \mathfrak{M} r^2 \end{pmatrix}$, e con $\mathbf{b}_1 = \begin{pmatrix} 26 kr^2 & 0 \\ 0 & \frac{1}{3} kr^2 \end{pmatrix}$. Dunque esse sono:

$$\begin{cases} 4\mathfrak{M} \ddot{\theta} - \frac{1}{3} \mathfrak{M} \ddot{\phi} = -26 k \theta \\ -\frac{1}{3} \mathfrak{M} \ddot{\theta} + \frac{13}{24} \mathfrak{M} \ddot{\phi} = -\frac{1}{3} k (\phi - \frac{\pi}{2}). \end{cases} \quad (5.0.22)$$

Per trovare i corrispondenti modi normali occorre poi risolvere l'equazione

$$\text{Det} \left(\mathbf{b}_1 - \lambda \mathbf{a}_1 \right) = \text{Det} \begin{pmatrix} 26k - 4\lambda\mathfrak{M} & \frac{1}{3}\lambda\mathfrak{M} \\ \frac{1}{3}\lambda\mathfrak{M} & \frac{1}{3}k - \frac{13}{24}\lambda\mathfrak{M} \end{pmatrix} = 0,$$

che diviene

$$\left(\frac{13}{6} - \frac{1}{9} \right) \mathfrak{M}^2 \lambda^2 - \mathfrak{M}k \left(\frac{4}{3} + \frac{13 \cdot 13}{12} \right) \lambda + \frac{26}{3} k^2 = 0,$$

o anche $74 \frac{\mathfrak{M}^2}{k^2} \lambda^2 - 555 \frac{\mathfrak{M}}{k} \lambda + 312 = 0$, da cui le $\nu_{1,2} = \sqrt{\lambda_{1,2}}$.

Autovettori sono allora le soluzioni delle

$$(26k - 4\lambda_1 \mathfrak{M}) \alpha_1 + \frac{1}{3} \lambda_1 \mathfrak{M} \beta_1 = 0,$$

$$(26k - 4\lambda_2 \mathfrak{M}) \alpha_2 + \frac{1}{3} \lambda_2 \mathfrak{M} \beta_2 = 0,$$

da cui segue la corrispondente matrice di trasformazione \mathbf{p} . Con questa, e con le $\nu_{1,2} := \sqrt{\lambda_{1,2}}$, si calcolano le

$$\begin{pmatrix} \theta^{lin}(t) \\ \phi^{lin}(t) - \pi/2 \end{pmatrix} = \mathbf{p} \begin{pmatrix} \cos \nu_1 t & 0 \\ 0 & \cos \nu_2 t \end{pmatrix} \mathbf{p}^{-1} \begin{pmatrix} \theta_0 \\ \phi_0 - \pi/2 \end{pmatrix} + \mathbf{p} \begin{pmatrix} \frac{1}{\nu_1} \sin \nu_1 t & 0 \\ 0 & \frac{1}{\nu_2} \sin \nu_2 t \end{pmatrix} \mathbf{p}^{-1} \begin{pmatrix} \dot{\theta}_0 \\ \dot{\phi}_0 \end{pmatrix}$$